

6. Vektoranalysis

6.1 Skalarfelder

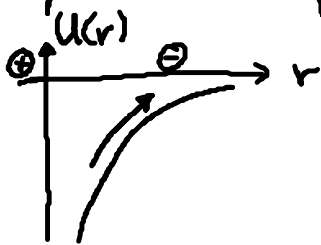
• Skalarfeld $f(\underline{r})$

• Bsp:

(1) ebene Welle: $f(\underline{r}) \sim \sin(\underline{k} \cdot \underline{r})$ (6.1)

(2) kugelsymmetrisches (Potential)feld: $U = U(r)$ (6.2)

Bsp: $U(r) \sim -\frac{1}{r}$ (6.3)



(3) zylindersymmetrisches (Potential)feld: $U = U(\rho)$ (6.4)

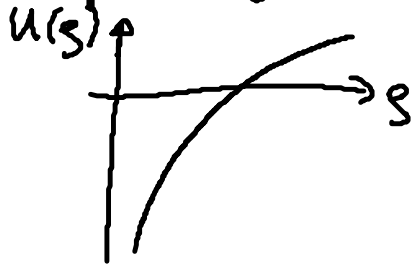
↑
Zyl. Koord.
Abstand von der
z-Achse

„Äquipotential“ flächen: $U(\rho) = \text{konst}$

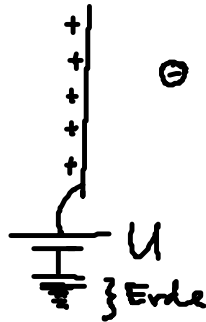
→ $\rho = \text{konst.}$

≙ Zylinderflächen um z-Achse

Bsp: $U(\rho) \sim \ln \rho$ (6.5)



... pot. Energie einer Testladung im Feld eines unendlich langen, homogen geladenen Drahtes



6.2 Vektorfelder

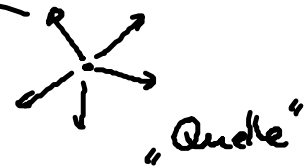
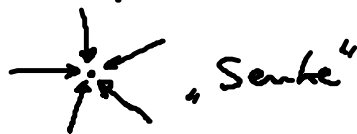
• Vektorfeld $\underline{a}(\underline{r})$: ordnet jedem Raumpkt. P einen Vektor $\in V_P$ zu

Bsp: Kraft \underline{E} , Geschwindigkeit (z.B. in Flüssigkeit)
 elektr. (\underline{E}) / magnet. (\underline{H} , \underline{K}) Feld...

• Bsp:

(1) kugelsymmetr. (Quellen/Senken-) Feld:

$$\underline{a}(\underline{r}) = \pm \underbrace{a(r)}_{>0} \underline{e}_r \quad (6.6)$$



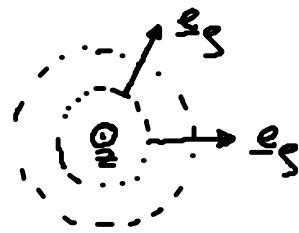
Bsp: $\underline{a}(\underline{r}) \sim \frac{1}{r^2} \underline{e}_r$ (6.7)

... (i) E-Feld einer Pkt. Ladung

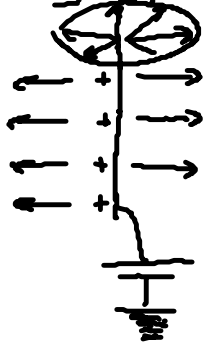
(ii) Kraft auf Test $\left\{ \begin{array}{l} \text{masse} \\ \text{Ladung} \end{array} \right.$
 im Feld $\left\{ \begin{array}{l} \text{eines Masspunktes} \\ \text{einer Pkt. Ladung} \end{array} \right.$

(2) zylindrisch symmetr. Feld:

$$\underline{a}(\underline{r}) = a(\rho) \underline{e}_\rho \quad (6.8)$$



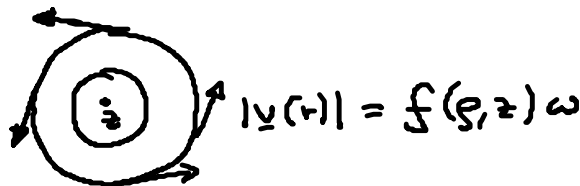
Bsp: $\underline{a}(\underline{r}) \sim \frac{1}{s} \underline{e}_s \quad (6.9)$



- (i) E-Feld eines hom. gelad. Drahtes
-
- (ii) Kraft auf Testladung im Feld eines hom. gelad. Drahtes

(3) (zylindrisch symmetr.) Wirbelfeld („Vortex“)

$$\underline{v}(\underline{r}) = f(\rho, z) \omega \underline{e}_\phi \quad (6.10)$$



Flüssigkeiten, Tornados, Magnetfelder

Bsp 1: $\underline{v}(\underline{r}) = \omega \rho \underline{e}_\phi$ mit $|\underline{v}| = \omega \rho$!

$$\stackrel{!}{=} \underline{\omega} \times \underline{r}$$

↑ „Wirbelstärke“, hier: $\underline{\omega} = \omega \underline{e}_z$

Beweis:

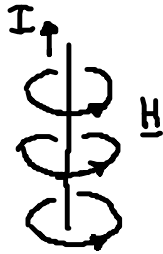
$$\underline{\omega} = \omega \underline{e}_z, \quad \underline{r} = \rho \underline{e}_\rho + z \underline{e}_z \quad \underline{e}_\rho \quad \underline{e}_z$$

$$\text{mit } \underline{e}_z \times \underline{e}_z = 0$$

$$\underline{e}_z \times \underline{e}_\rho = \underline{e}_\phi$$

$$\rightarrow \underline{\omega} \times \underline{r} = \omega \rho \underline{e}_\phi \quad \text{qed}$$

Bsp. 2: $\underline{H}(r) \sim \frac{I}{r} \underline{e}_\varphi$ (6.12)



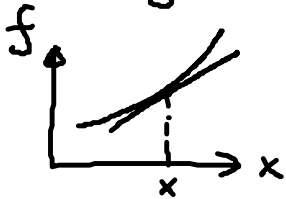
... Feld eines mit Strom I durch flossenen Leiters

6.3 Vollständiges Differential einer Funktion in 3D

• [1D]: Erinnerung: Geg: $f(x)$

Wert in Nachbarschaft von x : Taylorentwicklung!

$$f(x+dx) = f(x) + \underbrace{\frac{df}{dx} dx}_{\text{Gerade!}} + \underbrace{O(2)}_{\text{Terme } (dx)^n, n \geq 2}$$



Def:

vollständiges Differential

$$df(x) = \frac{df}{dx} dx$$

(6.14)

(6.13) $\rightarrow f(x+dx) - f(x) = df + O(2)$ (6.15)

• [3D] Geg. $f(x_1, x_2, x_3)$

Wert in Nachbarschaft von $\{x_1, x_2, x_3\}$:

$f(x_1+dx_1, x_2+dx_2, x_3+dx_3)$ mit (6.13)
subtraktive

$$\begin{aligned}
&= f(x_1+dx_1, x_2+dx_2, x_3) + \underbrace{\frac{\partial f}{\partial x_3} \Big|_{\substack{x_1+dx_1 \\ x_2+dx_2 \\ x_3}}}_{x_3} dx_3 \\
&\quad \vdots \\
&f(x_1, x_2, x_3) + \frac{\partial f}{\partial x_1} \Big|_{x_1, x_2, x_3} dx_1 + \frac{\partial f}{\partial x_2} \Big|_{x_1, x_2, x_3} dx_2 + \frac{\partial^2 f}{\partial x_2 \partial x_3} dx_2 dx_3 \\
&\quad \rightarrow O(2) \\
&\quad \approx \frac{\partial f}{\partial x_3} \Big|_{x_1, x_2, x_3} dx_3
\end{aligned}$$

$$\begin{aligned}
\rightarrow f(x_1+dx_1, x_2+dx_2, x_3+dx_3) - f(x_1, x_2, x_3) \\
= df + O(2)
\end{aligned}$$

Def: vollständiges Differential (6.17)

$$df = \frac{\partial f}{\partial x_i} dx_i$$

NB: $\frac{\partial f}{\partial x_i} = \frac{\partial f}{\partial x_i} \Big|_{x_j, j \neq i}$ ↙ halte $x_j \neq x_i$ fest

• Bsp: $f(r, \vartheta, \varphi) = r \sin \vartheta \cos \varphi$

$$\rightarrow df = \sin \vartheta \cos \varphi dr + r \cos \vartheta \cos \varphi d\vartheta - r \sin \vartheta \sin \varphi d\varphi$$

• Vektorfeld $\underline{a}(x_1, x_2, x_3)$:

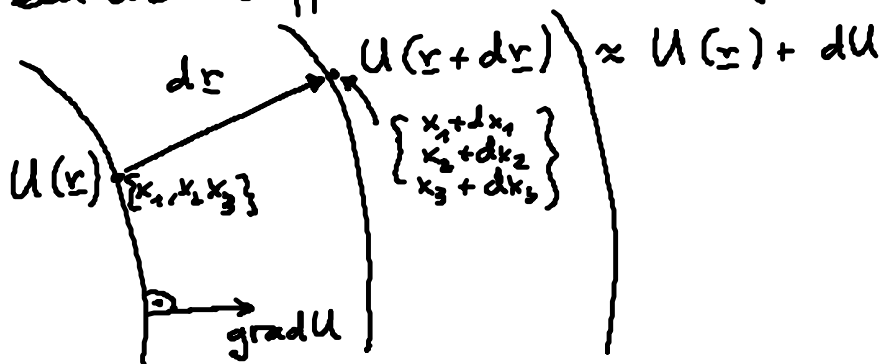
$$d\underline{a} = \frac{\partial \underline{a}}{\partial x_i} dx_i \quad (6.18)$$

Bsp: kartesische Koord.:

$$\begin{aligned}
d\underline{a} &= \frac{\partial \underline{a}}{\partial x} dx + \frac{\partial \underline{a}}{\partial y} dy + \frac{\partial \underline{a}}{\partial z} dz \quad \text{mit} \quad \frac{\partial \underline{a}}{\partial x} = \frac{\partial a_x}{\partial x} \underline{e}_x + \frac{\partial a_y}{\partial x} \underline{e}_y + \frac{\partial a_z}{\partial x} \underline{e}_z \\
&= \frac{\partial}{\partial x} \begin{pmatrix} a_x \\ a_y \\ a_z \end{pmatrix}
\end{aligned}$$

6.4. Der Nabla-Operator

- zentrale Größe der Vektoranalysis
- Führe ein über Differential eines Skalarfeldes $U(\underline{r})$:



Äquipotentialflächen $U(\underline{r})$

$$\underline{dr} \stackrel{(6.18)}{=} \frac{\partial \underline{r}}{\partial x_i} dx_i \stackrel{(S.G.)}{=} \left| \frac{\partial \underline{r}}{\partial x_i} \right| \underline{e}_i dx_i \quad (6.19)$$

... Wezelement, „infinitesimaler“ Differenzvektor

• einerseits:

$$dU(\underline{r}) = \frac{\partial U}{\partial x_1} dx_1 + \frac{\partial U}{\partial x_2} dx_2 + \frac{\partial U}{\partial x_3} dx_3 \quad (6.20)$$

• andererseits:

Def: Führe „Gradient von U “ = $\text{grad } U$ als Vektor ein, so daß: $dU(\underline{r}) = \text{grad } U \cdot \underline{dr}$ (6.21)

$$\rightarrow \text{grad } U = \frac{1}{\left| \frac{\partial \underline{r}}{\partial x_i} \right|} \frac{\partial U}{\partial x_i} \underline{e}_i \quad \text{mit } \underline{e}_i \cdot \underline{e}_j = \delta_{ij} \quad (6.22)$$

... Gradientenfeld von U

Beweis: $dU \stackrel{?}{=} \text{grad } U \cdot \underline{dr} \stackrel{(6.22)}{\stackrel{(6.19)}}{=} \frac{1}{\left| \frac{\partial \underline{r}}{\partial x_i} \right|} \frac{\partial U}{\partial x_i} \underline{e}_i \cdot \left| \frac{\partial \underline{r}}{\partial x_j} \right| \underline{e}_j dx_j$

$$[\underline{e}_i \cdot \underline{e}_j = \delta_{ij}] = \frac{\partial U}{\partial x_i} dx_i \quad \text{qed}$$

• (6.22) legt nahe:

Def:

Nabla-Operator $\hat{=}$ Vektor-Differentialoperator

$$\underline{\nabla} = \underline{e}_i \frac{1}{\left| \frac{\partial \underline{r}}{\partial x_i} \right|} \frac{\partial}{\partial x_i}, \quad \text{so daß } \text{grad} U = \underline{\nabla} U \quad (6.23)$$

• entlang Äquipotentialflächen:

$$dU = 0 \xrightarrow{(6.21)} \text{grad} U \perp d\underline{r}$$

\rightarrow grad U \parallel Richtung maximaler Änderung von U

• Koordinatensysteme:

a) Kartesische Koordinaten: $\left| \frac{\partial \underline{r}}{\partial x_i} \right| = 1!$

$$d\underline{r} = dx \underline{e}_x + dy \underline{e}_y + dz \underline{e}_z$$

$$(6.22) \rightarrow \text{grad} U = \underline{e}_x \frac{\partial U}{\partial x} + \underline{e}_y \frac{\partial U}{\partial y} + \underline{e}_z \frac{\partial U}{\partial z} \quad (6.24)$$

$$\underline{\nabla} = \underline{e}_x \frac{\partial}{\partial x} + \underline{e}_y \frac{\partial}{\partial y} + \underline{e}_z \frac{\partial}{\partial z}$$

$$\text{Bsp: } U \sim r^2 = x^2 + y^2 + z^2 \rightarrow \underline{\nabla} U \sim 2x \underline{e}_x + 2y \underline{e}_y + 2z \underline{e}_z = 2\underline{r}$$

b) Zylinderkoordinaten

$$d\underline{r} \stackrel{(5.9)}{=} ds \underline{e}_s + s d\varphi \underline{e}_\varphi + dz \underline{e}_z$$

$$dU = \frac{\partial U}{\partial s} ds + \frac{\partial U}{\partial \varphi} d\varphi + \frac{\partial U}{\partial z} dz$$

$$\underline{\nabla} = \underline{e}_s \frac{\partial}{\partial s} + \underline{e}_\varphi \frac{1}{s} \frac{\partial}{\partial \varphi} + \underline{e}_z \frac{\partial}{\partial z}$$

[Dimensionsanalyse:

$$[\underline{\nabla}] = \frac{1}{\text{Länge}} !!]$$

$$\text{Bsp: } U(s) \sim \ln s \rightarrow \underline{\nabla} U \sim \frac{1}{s} \underline{e}_s$$

c) Kugelkoordinaten

$$\underline{\nabla} = \underline{e}_r \frac{\partial}{\partial r} + \underline{e}_\vartheta \frac{1}{r} \frac{\partial}{\partial \vartheta} + \underline{e}_\varphi \frac{1}{r \sin \vartheta} \frac{\partial}{\partial \varphi} \quad (6.26)$$

Beweis: Übungen

• Rechenregeln: (Beweis: Übungen)

$$\begin{aligned} \text{(i)} \quad \underline{\nabla}(cU) &= c \underline{\nabla}U, \quad c \in \mathbb{R} \\ \underline{\nabla}(U+V) &= \underline{\nabla}U + \underline{\nabla}V \\ \underline{\nabla}(UV) &= (\underline{\nabla}U)V + U(\underline{\nabla}V) \end{aligned} \quad (6.27)$$

$$\begin{aligned} \text{(ii)} \quad \underline{\nabla}(\underline{a} \cdot \underline{r}) &= \underline{a} \quad \underline{a} \text{ - konstanter Vektor} \\ \underline{\nabla}r &= \hat{\underline{r}}, \quad \underline{r} = r \hat{\underline{r}} = r \underline{e}_r \\ \underline{\nabla}f(r) &= \frac{\partial f}{\partial r} \hat{\underline{r}} \\ \text{insbesondere: } \underline{\nabla} \frac{1}{r} &= -\frac{\hat{\underline{r}}}{r^2} \end{aligned} \quad (6.28)$$

• Richtungsableitung: „Ableitung entlang $\hat{\underline{v}}$ “, $|\hat{\underline{v}}| = 1$

Def:

Richtungsableitung $\hat{\underline{v}} \cdot \underline{\nabla}U$

so daß mit $d\underline{r} = \hat{\underline{v}} ds$: $dU = (\hat{\underline{v}} \cdot \underline{\nabla}U) ds$

(6.29)